

ного процесу, і зниження її затягується на більш тривалий час. Ми схильні вважати, що цей факт пов'язаний з раннім тренуванням нервої системи при роботі з тваринами по виробленню системи позитивних і гальмівних умовних рефлексів у молодому віці. Дані, одержані рядом авторів, свідчать про сприятливий вплив тренування нервої системи у молодому віці на стан вищої нервої діяльності тварин у більш пізні періоди онтогенезу [1, 2, 3, 4, 5, 7].

#### Література

1. Быков В. Д.—Исслед. возрастн. и типол. особен. высш. нервн. деят. собак в онтогенезе. Автореф. дисс. М., 1958.
2. Головачев Г. Д.—XIX совещ. по пробл. высш. нервн. деят. Тез. и реф. докл., 1964, 1, 94.
3. Кашериннова Н. А.—Матер. к изуч. условн. рефл. на механич. раздраж. кожи у собак. Дисс. СПб., 1908.
4. Козлова Л. Н.—Журн. высш. нервн. деят., 1963, XIII, 3.
5. Образцова Г. А.—Вопр. онтогенеза высш. нервн. деят., М.—Л., 1964.
6. Трошихин В. А., Кручеко Ж. А.—Журн. высш. нервн. деят., 1968, XVIII, 6, 989.
7. Федоров В. К.—Физиол. журн. СССР, 1951, 37, 3, 283.

Надійшла до редакції  
30.VI 1969 р.

УДК 612.822.3

## ФОНОВА АКТИВНІСТЬ НЕЙРОНІВ ЗОРОВОЇ КОРИ КРОЛИКА

Р. Р. Велика

Відділ фізіології нейрогуморальних регуляцій Інституту фізіології  
ім. О. О. Богомольця АН УРСР, Київ

Одним з підходів до вивчення функціональної організації складної сітки коркових нейронів є визначення параметрів окремих елементів та їх порівняння. Морфологічна багатоманітність нейронних елементів кори головного мозку та їх зв'язків з іншими корковими і підкорковими елементами може зумовлювати, з одного боку, багатоманітність функціональних особливостей різних нейронів кори, з іншого — формування характеристик, спільніх для всієї сітки.

Фонова електрична активність нейронів кори залежить від взаємодії конвергуючих на них синаптических впливів і водночас відбуває індивідуальні особливості передачі і переробки цими нейронами імпульсації, що надходить. Отже, параметри фонової активності різних нейронів можуть бути використані певною мірою для порівняння функціональних особливостей цих нейронів як елементів однієї сітки. Виходячи з цього ми визначали і зіставляли деякі статистичні параметри фонової активності різних нейронів зорової кори кролика. Беручи до уваги морфологічну неоднорідність різних шарів зорової кори, ми здійснили спробу виявити особливості фонової активності нейронів залежно від розподілу їх по шарах.

#### Методика дослідження

Імпульсну активність одиничних нейронів зорової області кори головного мозку неанестезованих, знерухомлених дитиліном кроликів відводили з допомогою склянок мікроелектродів і реєстрували на магнітну стрічку для дальнього вводу в аналізаторний пристрій.

Апаратуру статистичну обробку даних здійснювали з допомогою 100-канального аналізатора АІ-100, який давав можливість одержувати гістограми розподілу інтервалів між послідовними імпульсами [2]. Ширину каналів аналізатора можна обирати залежно від умов експерименту від 2 до 10 мсек. Отже, максимальні часові інтервали, що реєструються аналізатором, не перевищували 1000 мсек.

Для аналізу розподілу імпульсних інтервалів (МІ) фонової активності досліджуваних нейронів були визначені перші чотири центральні моменти розподілів, і за ними обчислена середня арифметична довжина інтервалу  $x$ , середнє арифметичне відхилення  $\sigma$ , коефіцієнт асиметрії  $A$  і показник ексесу  $E$ . Підрахування моментів провадили методом сум [3]. Для порівняння розподілу одержаних параметрів фонової активності з теоретичним розподілом був застосований критерій Колмогорова — Смирнова [4]. Крім того, визначали коефіцієнт кореляції між цими параметрами.

### Результати дослідження та їх обговорення

Параметри фонової активності 36 нейронів зорової кори кролика наведені в таблиці, в якій представлені значення середньої арифметичної довжини інтервалу  $\bar{x}$ , середнього квадратичного відхилення  $\sigma$ , коефіцієнта асиметрії  $A$ , показника ексцесу  $E$  та довжини модального інтервалу (при біомодальних розподілах також значення другої моди). Нейрони в таблиці розташовані в порядку збільшення  $\bar{x}$ . При цьому спостерігається спільна зміна інших параметрів розподілу МП. Особливо чітко кореляційна залежність між параметрами розподілу видна на графіках, наведених на

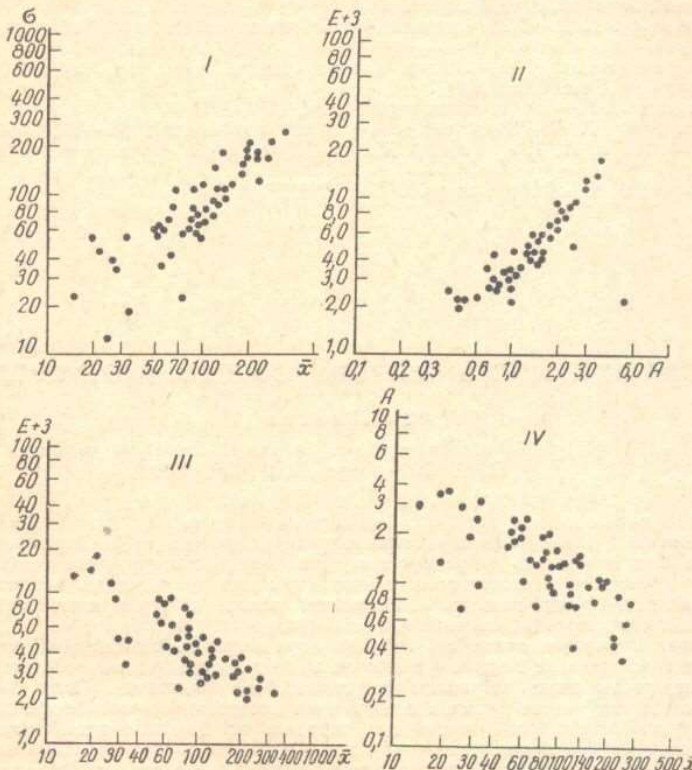


Рис. 1. Графіки кореляційної залежності між параметрами розподілу міжімпульсних інтервалів фонової активності нейронів зорової кори.

I — залежність між середньою довжиною інтервалів ( $\bar{x}$ ) та ІІ середнім квадратичним відхиленням ( $\sigma$ ); II — залежність між показником ексцесу ( $E$ ) і коефіцієнтом асиметрії ( $A$ ); III — залежність між середньою довжиною інтервалів і показником ексцесу; IV — залежність між середньою довжиною інтервалів і коефіцієнтом асиметрії.

рис. 1, де показано, що із збільшенням  $\bar{x}$  відбувається збільшення  $\sigma$  (рис. 1, I), зменшення  $A$  (рис. 1, II) і  $E$  (рис. 1, III), а зменшення  $A$  також корелює із зменшенням  $E$  (рис. 1, IV). Отже, наведені графіки показують, що між одержаними параметрами розподілу МП фонової активності коркових нейронів існують зв'язки, і ця кореляція (в логарифмічному масштабі) наближено лінійна і досить висока (коефіцієнт кореляції для  $\bar{x}$  і  $\sigma$  становить  $0,83 \pm 0,096$ , а для  $A$  і  $E$  —  $0,75 \pm 0,13$ ).

З таблиці можна зробити істотний висновок про характер зміни наведених параметрів розподілу МП від нейрона до нейрона. Хоч крайні значення цих показників перебувають у широких межах (границі для  $\bar{x}$  14,36—345,2; для  $\sigma$  11,73—217,9; для  $E$  2,146—17,896), відмінності між параметрами сусідніх у таблиці нейронів не значні. Порівняння розподілу цих параметрів з теоретичним розподілом за критерієм Колмогорова — Смирнова показало, що розподіл усіх чотирьох параметрів підпорядковується закону логарифмічного нормального розподілу (значення критерію для  $x$

становить 0,103, для  $\sigma$  — 0, для 95% надійного інтервалу, ентом кореляції вказують жати до однієї генеральної рення фонової активності різноманітності між розподілом  $M$  нем вираженості цих механізмів.

Параметри розподілу зорової активності

$N$	$\bar{x}$
551	19,80
13Б3	21,19
8А3	26,00
8Б2	28,50
5Б2	30,54
17А1	31,50
10Б1	52,43
4В1	53,90
7Б6	56,00
13Б9	59,61
5Б3	62,34
13Б7	66,84
9Б7	74,27
12Б3	74,93
12Б5	83,40
8Б3	92,20
3Б4	94,30
10Б2	100,13
10Б4	103,11
3Б3	117,50
9Б5	119,60
9Б6	120,90
6Б2	130,00
6Б9	131,00
7Б5	133,50
10Б5	135,87
13Б8	152,43
13Б5	180,00
7Б3	192,90
9Б1	197,30
13Б2	198,50
13Б4	200,89
6Б6	222,90
12Б1	223,40
9Б4	227,00
12Б2	277,60

З рис. 2 видно, що залежності теризуються різко виражені залежностями, які відображають залежності інтервалів по всій досліджуваній зоні. Вони позитивні і переважно низькі рівень імпульсації побудовані гістограмами обраних інтервалів. Слід прийти до висновку, що нейронів до групування залежності відповідають розподілу МП різними процесами [7]. Однак інтервалів (0—20 мс) інтервалів. Другий процес відбувається в інтервалі (20—50 мс). Оскільки значення параметрів (рис. 2, III) має чітко виражені залежності, а значення міжгруп

становить 0,103, для  $\sigma = 0,127$ , для  $A = 0,125$  і для  $E = 0,163$ , при критичному рівні для 95% надійного інтервалу, що дорівнює 0,22). Ці дані разом з високим коефіцієнтом кореляції вказують на те, що всі параметри досліджуваних нейронів належать до однієї генеральної сукупності. Це дозволяє припускати, що в основі утворення фонової активності різних нейронів лежать якісно однотипні механізми, і відмінності між розподілом МІІ активності нейронів тільки кількісні, зумовлені ступенем вираженості цих механізмів.

Параметри розподілу міжімпульсних інтервалів фонової активності нейронів зорової кори головного мозку кроликів

<i>N</i>	$\bar{X}$	$\sigma$	<i>A</i>	<i>E+3</i>	<i>M<sub>1</sub></i>	<i>M<sub>2</sub></i>
5Б1	19,80	51,20	3,580	14,800	10	
13Б3	21,19	43,16	3,688	17,896	10	
8А3	26,00	38,27	2,969	11,881	10	
8Б2	28,50	33,80	1,883	9,506	10	
5Б2	30,54	12,07	3,688	17,896	20	
17А1	31,50	52,50	2,524	5,065	10	
10Б1	52,43	57,22	1,734	5,737	10	
4Б1	53,90	35,50	1,913	66,697	20	
7Б6	56,00	59,46	1,932	6,617	20	
13Б9	59,61	67,71	2,264	9,034	20	
5Б3	62,34	40,09	2,026	4,520	10	60
13Б7	66,84	103,11	1,415	6,322	10	
9Б7	74,27	22,52	0,771	4,324	10	70
12Б3	74,93	56,15	1,354	5,025	20	
12Б5	83,40	66,90	1,421	4,913	20	
8Б3	92,20	70,66	1,318	5,082	10	100
3Б4	94,30	66,92	0,946	3,258	10	95
10Б2	100,13	113,06	1,589	4,724	20	
10Б4	103,11	77,20	1,307	4,116	10	70
3Б3	117,50	79,36	0,770	2,965	10	
9Б5	119,60	149,50	1,002	2,703	10	
9Б6	120,90	88,00	0,951	3,350	10	60
6Б2	130,00	106,04	0,776	2,776	10	
6Б9	131,00	105,94	1,500	4,094	20	70
7Б5	133,50	183,26	1,430	3,709	20	
10Б5	135,87	99,80	1,378	4,695	10	70
13Б8	152,43	117,63	1,006	3,595	20	
13Б5	180,00	154,60	5,440	2,273	20	
7Б3	192,90	169,40	1,046	3,460	10	
9Б1	197,30	194,40	0,978	2,989	10	
13Б2	198,50	163,30	1,004	3,487	10	
13Б4	200,89	208,30	1,036	2,165	10	
6Б6	222,90	167,52	0,472	2,146	10	
12Б1	223,40	185,40	0,462	2,020	10	
9Б4	227,00	123,80	0,863	2,951	10	120
12Б2	277,60	217,90	0,787	2,654		

З рис. 2 видно, що гістограми розподілу МІІ активності нейронів кори характеризуються різко вираженою правою асиметричністю, тобто найбільш часто трапляються значення інтервалів між імпульсами менші, ніж їх середнє значення, обчислене по всій досліджуваній ділянці. На це вказують також усі коефіцієнти асиметрії: вони позитивні і перебувають у межах 0,378—5,400. Якщо взяти до уваги відносно низький рівень імпульсації досліджуваних нейронів, а також ту обставину, що для побудови гістограм обирали досить стабільні ділянки фонової активності, видимо, слід прийти до висновку, що це спостереження відбиває загальну тенденцію цих нейронів до групування міжімпульсних інтервалів фонової активності. На наведених гістограмах розподілу МІІ чітко виявляються дві ділянки, зумовлені, очевидно, двома різними процесами [7]. Один з цих процесів характеризується модою в ділянці коротких інтервалів (0—20 мсек; див. таблицю) і пов'язаний з появою внутрігрупових інтервалів. Другий процес визначається міжгруповими інтервалами і в деяких випадках (рис. 2, III) має чітко виражену моду в ділянці 60—200 мсек у різних нейронів.

Оскільки значення першої моди фіксоване у нейронів усього ряду (див. таблицю), а значення міжгрупових інтервалів широко варіює у різних нейронів,— можна

припустити, що кількісні відмінності між розподілом МII активності різних нейронів значною мірою визначаються різним ступенем участі у процесі генерування фонової активності механізму, що зумовлює появу міжгрупових інтервалів.

У дослідах з функціональним виключенням ретикулярної формaciї стовбура [1] було показано, що при стійкості характеристик внутрігрупових інтервалів фонової

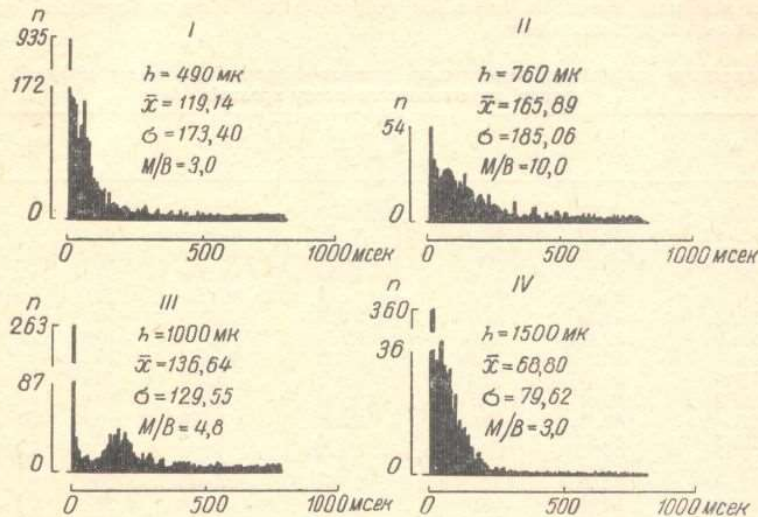


Рис. 2. Гистограми розподілу міжімпульсних інтервалів фонової активності чотирьох нейронів (I, II, III, IV) зорової кори, зареєстровані послідовно при одному зануренні мікроелектрода.

*h* — глибина занурення мікроелектрода, *M/B* — показник групування імпульсації.

активності нейронів зорової кори значення міжгрупових інтервалів (частота появи груп) змінюються залежно від зміни інтенсивності аферентного потоку імпульсациї до кори. Отже, можна гадати, що спостережувані відмінності між розподілом МII фонової активності різних нейронів зумовлюються, в основному, характером синаптичних зв'язків, які визначають надходження аферентної імпульсації до цих нейронів.

На графіках розподілу середньої частоти і показника групування [1] фонової активності нейронів зорової кори залежно від глибини розташування цих нейронів (рис. 3) простежується закономірність: високий рівень середньої частоти імпульсації та низькі показники

Рис. 3. Графік залежності середньої частоти (*imp/сек*) — I і показника групування (II) імпульсації нейронів від глибини їх розташування.

ки групування активності нейронів на глибині I—II і V—VI шарів зорової кори та відносне зменшення частоти і водночас збільшення показника групування активності нейронів, розташованих у III і IV шарах кори. Ця сама закономірність (відповідна зміна *x*, *σ* і *M/B*-показника групування) видна на гистограмах розподілу МII активності нейронів, зареєстрованих на різній глибині при одному зануренні мікроелектрода (рис. 2), що, можливо, пов'язано з особливостями розподілу специфічних і неспеци-

### Гомосинаптична депресія та

фічних аферентів у корі головного мозку, що місцем закінчення третього і четвертого шарів кори (І і ІІ) і віддає

1. Велика Р. Р., Сычев А. Я.
2. Пятигорский Б. Я.
3. Смирнов Н. В., Денисов для технич. прилож., Физиология и биохимия.
4. Урбах В. Ю. — Биометрические методы в медицине.
5. Школьник Ярославский, М., «Медицина», 1962, 38.
6. Шайтель М. Е., Шайтель Г. Е. — Биометрические методы в медицине.
7. Smith D., Smith G. — Биометрические методы в медицине.

### ГОМОСИНАПТИЧНА ДЕПРЕСІЯ ГАЛЬМУВАННЯ N<sub>1</sub>- ПОВЕРХНІСТІ ПОЗИЦІІ

Центральна науково-дослідницька лабораторія

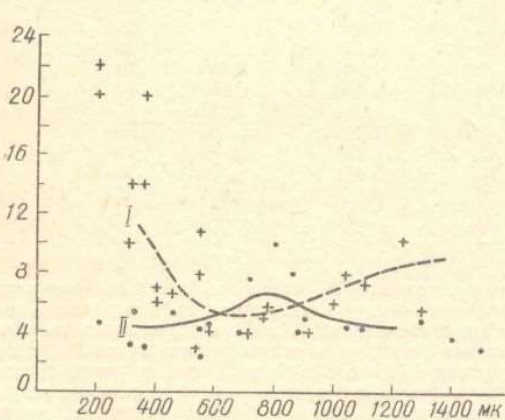


Рис. 3. Графік залежності середньої частоти (*imp/сек*) — I і показника групування (II) імпульсації нейронів від глибини їх розташування.

В літературі нема відповідності відносно відсутності показників цього виду в пухлині відповідно до підразнення рефлекторної діяльності периметральними пухлинами.

Ми досліджували гомосинаптичну компоненту потенціалу дії під час підразнення периферичного N<sub>1</sub>-компоненту ПДП є показником нейронів заднього рога від характеру передачі нейронів, що не є аферентне волокно — проміжкові.

Дослідження гальмівів рефлекторної дуги проводилися з розташуванням пухлин. Під час підразнення та контролю терапевтичному боцю мозку. Описаного прямокутника між пухлинами.

Досліди проведено на шкірі задньої поверхні працівників. Дорсальні потовищчі огорювали ламінінами через 3—4 год після закінчення наркозу (100 мг/кг) внутрішньо.

Подвійне підразнення малогомілкових нервів імпульсами шкірних аферентів виконувалося в межах від 10 до 1000 мсек.

Відведення ПДП проєктується на симільної активності на